

УДК 541.14:535.37:544.1

ЭЛЕКТРОННОЕ СТРОЕНИЕ И ВОЗБУЖДЕННЫЕ СОСТОЯНИЯ МОЛЕКУЛЯРНЫХ КРИСТАЛЛОВ ГЕКСАГАЛОГЕНИДОВ СУРЬМЫ И ТЕЛЛУРА

А.А. Доценко, О.Л. Щека, В.И. Вовна

Дальневосточный федеральный университет, Владивосток, Россия

E-mail: dotsenko.aa@dvgfu.ru

Статья поступила 29 ноября 2016 г.

С доработки — 25 января 2017 г.

Статья посвящена исследованию электронного строения и орбитальной природы возбуждения люминесценции ряда молекулярных кристаллов с общей формулой E_nAX_6 , где E_n — органические и неорганические катионы (дифенилгуанидиний, гуанидиний и цеций); n — число катионов; AX_6 — анионы Te(IV) и Sb(III); X — атомы галогенов Cl или Br. Электронное строение указанных молекулярных кристаллов определялось по данным методов рентгеновской фотоэлектронной спектроскопии основных и валентных уровней и квантово-химического моделирования в рамках теории функционала плотности в сочетании с ранее полученными данными рентгеноструктурного анализа.

DOI: 10.15372/JSC20170605

Ключевые слова: люминесценция, электронная структура, s^2 -ионы, гексагалогениды, молекулярные кристаллы, рентгеновская фотоэлектронная спектроскопия, теория функционала плотности.

ВВЕДЕНИЕ

В настоящее время актуальной задачей науки является поиск, создание и применение новых материалов с уникальными физико-химическими свойствами. Одними из перспективных объектов исследования являются молекулярные кристаллы гексагалогенидов s^2 -ионов с органическими и неорганическими катионами. Данные кристаллы обладают термохромными, люминесцентными, нелинейными оптическими и диэлектрическими свойствами, что позволяет применять их в информационных и энергосберегающих технологиях [1—7].

Считается, что в кристаллах вместе с ковалентным характером связи имеют место ионные и металлические составляющие, способствующие тому, что полная электронная плотность становится более асимметричной и, как следствие, смещается к анионообразователю. При этом наблюдается больший диапазон между максимальным и минимальным значением периодического потенциала в поле кристалла [8].

Связываясь с катионами, большинство из них образует структуры с плотной упаковкой слоев [9], где некоторые (например, гексаидиоды) обладают полиморфизмом и фазовыми переходами, обусловленными динамикой вращения органических катионов [10—14].

Люминесцентные свойства кристаллов определяются преимущественно ионами металла с ртутеподобной конфигурацией электронов n^2 , а за люминесценцию ответственны переходы между sp -возбужденными 3P_j и s^2 -основным 1S_0 состояниями, т.е. люминесценция имеет внутриионный характер [4, 5]. Однако информация относительно природы люминесценции данных кристаллов крайне скучна, при этом существующая теория люминесценции на основе терминов атомных 1S_0 и 1P_1 , 3P_j состояний применима только для ионов металлов с s^2 -конфигурацией. Для

описания люминесценции анионов галогенидов металлов, таких как SbX_6^{3-} и TeX_6^{2-} , ее применимость ограничена тем, что $5s$ -АО металла гибридизованы с групповыми орбиталями галогенов, а правила отбора оптических переходов и локализация электронных состояний требуют использования описания в терминах неприводимых представлений [15, 16].

Необходимо также отметить, что на данный момент остаются дискуссионными вопросы, связанные с описанием механизма люминесценции s^2 -ионов, взаимосвязи спектрально-люминесцентных свойств с особенностями электронного строения, наличием стереохимически активной неподеленной электронной пары, ролью состояния переноса заряда лиганда—металл, а также проявлением эффекта Яна—Теллера [17—19].

Отсутствие деталей электронных механизмов фотофизических процессов, необходимых для создания новых материалов с уникальными физико-химическими свойствами и методов управления данными свойствами, требуют детального понимания электронной структуры и механизма люминесценции исследуемых кристаллов, что является крайне важной задачей.

К решению данной задачи для следующих молекулярных кристаллов: $(HDphg)_3SbX_6$, $(HDphg)_2TeX_6$, $(HGu)_2TeX_6$, Cs_2TeX_6 , где $X = Cl$ и Br , мы подошли, применяя совокупность методов теоретического моделирования с данными рентгеновской фотоэлектронной спектроскопии, люминесцентной спектроскопии и рентгеноструктурного анализа. Полученные нами результаты представлены в [20—23].

ЭКСПЕРИМЕНТАЛЬНЫЕ И РАСЧЕТНЫЕ МЕТОДЫ ИССЛЕДОВАНИЙ

Изучаемые в данной работе молекулярные кристаллы были синтезированы и предоставлены сотрудниками Лаборатории светотрансформирующих материалов Института химии ДВО РАН (зав. лабораторией, д.х.н. А.Г. Мирочник). Синтез, люминесценция и кристаллическая структура подробно описаны ими в работах [24—29]. Спектры возбуждения люминесценции взяты из работ [4, 19], а информация о кристаллической структуре молекулярных кристаллов — из работ [27—32] и Кембриджского банка структурных данных [33].

Рентгеновские фотоэлектронные спектры были получены нами на сверхвысоковакуумном фотоэлектронном спектрометре фирмы Omicron (Германия). В качестве источника излучения использовали рентгеновскую трубку с магниевым анодом (линия $MgK\alpha$ — 1253,6 эВ). Давление в камере при проведении эксперимента не превышало 9×10^{-9} мбар. Значение тока эмиссии $I = 13$ мА и напряжение анода $U = 10$ кВ. Участки спектров характеристических уровней атомов $O1s$, $C1s$, $N1s$, $C12p$, $Br3p$ записывали при энергии пропускания анализатора 20 эВ.

В процессе накопления спектров характеристики линий не меняли. Калибровку шкалы энергии связи электронов выполняли по методике внутреннего стандарта, в качестве которого был выбран уровень углерода $C1s$. Обработку спектров проводили по стандартным процедурам с использованием программного комплекса Casa XPS [34].

Исследуемые соединения представляли собой порошки, наносимые на клейкую подложку. При проведении эксперимента наблюдали интенсивную люминесценцию исследуемых объектов.

Обработку спектров проводили стандартными процедурами. Фон вычитали методом Ширли [35]. Сглаживание спектров выполняли с использованием цифрового сглаживающего полиномиального фильтра Савицкого—Голея (СГ) [36], в качестве аппроксимирующего полинома использовали квадратичную функцию с длиной интервала аппроксимации 13 точек. Интерпретацию спектров валентных электронов проводили на основе расчетов электронной структуры модельных соединений и закономерностей в рентгеновских фотоэлектронных спектрах исследуемых и родственных соединений по методике, предложенной нами в [20—23, 37, 38].

Расчет электронной структуры выполняли неэмпирическим квантово-химическим методом ТФП в программном комплексе FireFly и GAMESS-US [39, 40] с использованием гибридного функционала B3LYP [41] с эффективным оставшим потенциалом Р. Алрикса для атомов теллура, сурьмы и цезия [42]. В качестве базисного набора использовали базисы: 6-31G, def2-SVP и def2-TZVP [42]. Спектры поглощения модельных комплексов были рассчитаны с идентичными параметрами в рамках зависящей от времени теории функционала плотности [43].

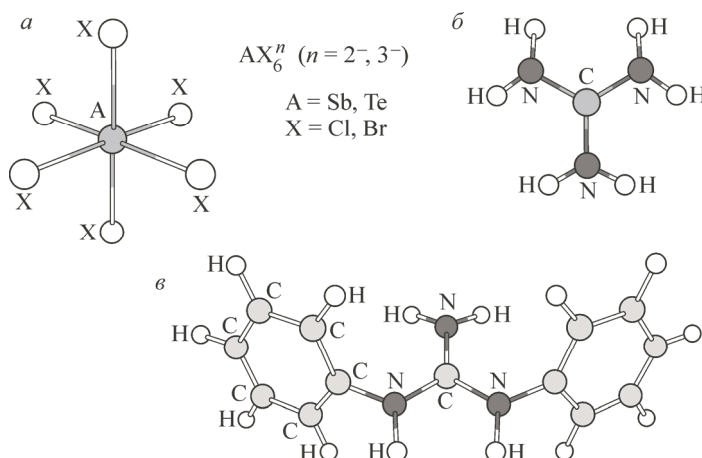


Рис. 1. Структура основных составляющих: анионов и катионов (а), гуанидина (б), N'N-дифенилгуанидина в сложных молекулярных кристаллах (в)

ЭЛЕКТРОННОЕ СТРОЕНИЕ МОЛЕКУЛЯРНЫХ КРИСТАЛЛОВ

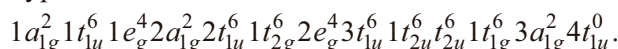
По полученным кристаллографическим данным [24—29], сложные молекулярные кристаллы представляют собой анионы с общей формулой AX_6^z (рис. 1, а), где $\text{A} = \text{Sb, Te}$, $\text{X} = \text{Cl, Br}$; z — заряд аниона, находящегося в окружении внешнесферных катионов гуанидина (см. рис. 1, б), N'N-дифенилгуанидина (см. рис. 1, в) и цезия.

Описание электронного строения и РФЭ-спектров валентной области выполняли на основе теоретического моделирования в кластерном приближении с использованием модельных соединений с общей формулой AX_6^z и соединений (рис. 2), учитывающих максимальное число взаимодействий в реальных кристаллах.

Модельные соединения I—V имеют следующие формулы: $(\text{HGu})_2\text{TeX}_6$ (I), $(\text{HDphg})_2\text{TeX}_6$ (II), $(\text{HDphg})_3\text{SbX}_6$ (III), $(\text{HDphg})_6\text{Sb}_2\text{X}_{12}$ (IV), $(\text{TeCl}_4)_2\text{Cs}_8\text{TeCl}_6$ (V), Cs_8TeCl_6 (VI), где $\text{X} = \text{Cl, Br}$; HDphg — $(\text{HNPh})_2\text{C}=\text{NH}$, HGu — $(\text{NH}_2)_3\text{C}$.

Модельные соединения типа AX_6^z и группой симметрии O_h по расчетным данным имеют следующие длины связей A—X (Å): $[\text{TeCl}_6]^0$ 2,37, $[\text{TeBr}_6]^0$ 2,58, $[\text{TeCl}_6]^{2-}$ 2,61, $[\text{TeBr}_6]^{2-}$ 2,79, $[\text{SbCl}_6]^-$ 2,44, $[\text{SbBr}_6]^-$ 2,63, $[\text{SbCl}_6]^{3-}$ 2,80, $[\text{SbBr}_6]^{3-}$ 2,97, углы между связями во всех соединениях составляют 90°.

Электронная конфигурация валентной области имеет вид:



Форма и симметрия основных молекулярных орбиталей октаэдрических анионов представлена на рис. 3 на примере $[\text{TeCl}_6]^{2-}$.

В соединениях $[\text{TeX}_6]^0$, $[\text{SbX}_6]^-$ орбиталь $3a_{1g}$ вакантна, однако два дополнительных электрона на $3a_{1g}$ в $[\text{SbCl}_6]^{3-}$ вызывают увеличение длины связи Sb—Cl от 2,44 в $[\text{SbCl}_6]^-$ до 2,80 Å вследствие понижения кратности связи Sb—Cl от 0,255 до 0,115.

Аналогичная закономерность наблюдается для бромидов сурьмы: кратность связи понижается от 0,738 до 0,482, межатомные расстояния Sb—Br возрастают от 2,63 до 2,97 Å. В соединениях теллура два электрона на $3a_{1g}$ в $[\text{TeCl}_6]^{2-}$ вызывают увеличение длины связи Te—Cl с 2,37 в $[\text{TeCl}_6]^0$ до 2,61 Å вследствие понижения кратности связи Te—Cl от 0,308 до 0,109 для бромидов теллура: кратность связи понижается от 0,297 до 0,126, межатомные расстояния Te—Br увеличиваются от 2,58 до 2,79 Å.

В анионах $[\text{SbX}_6]^-$ и $[\text{SbX}_6]^{3-}$ три нижние MO $1a_{1g}^2 1t_{1u}^6 1e_g^4$ содержат преобладающие вклады $n\text{s}$ -AO галогенов, но $1a_{1g}$ вносит заметный вклад в Sb—X-связывание вследствие Sb5s—X $n\text{s}$ -перекрывания, где $n = 3$ и 4 для Cl и Br соответственно (табл. 1, см. рис. 3).

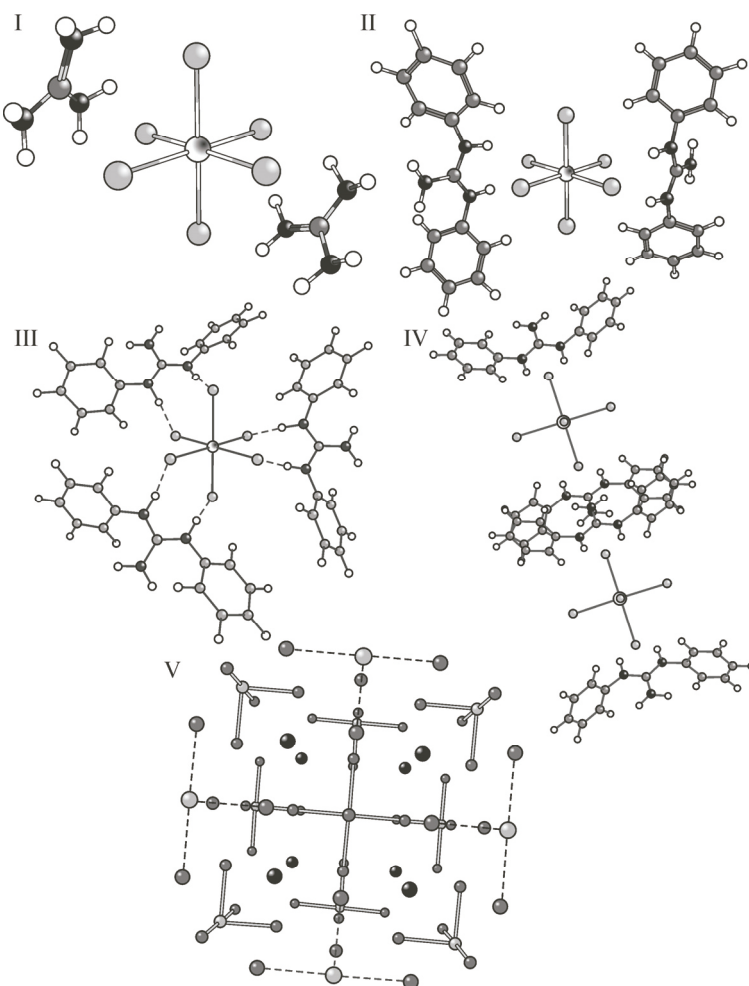
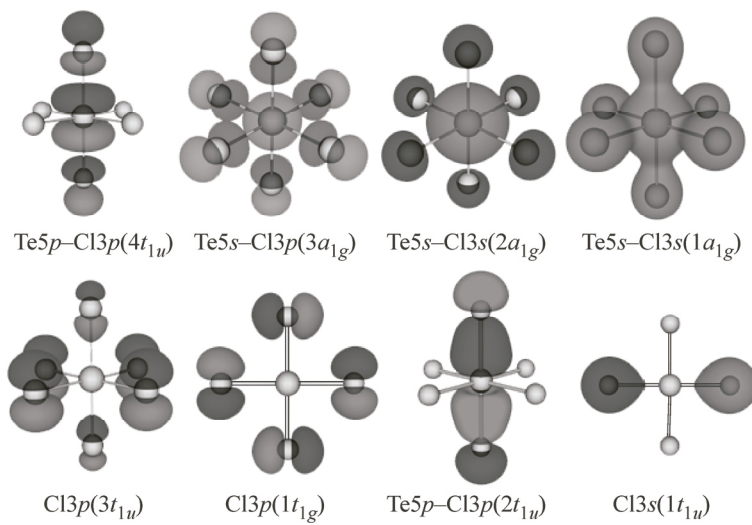


Рис. 2. Структура модельных соединений I—V

Рис. 3. Форма и симметрия основных МО анионов $[\text{TeCl}_6]^{2-}$

МО $2a_{1g}$ в $[\text{SbX}_6]^-$, имея близкие вклады $5s$ -металла и Xnp_σ , носит связывающий характер, но в $[\text{SbX}_6]^{3-}$ $2a_{1g}$ включает до 80 % $5s$ -АО сурьмы и комбинации $3s$ ($4s$) и $3p_\sigma$ ($4p_\sigma$) галогенов.

Таблица 1

Орбитальные энергии и вклады атомов в валентные МО октаэдрических анионов

[TeCl ₆] ⁰				[TeCl ₆] ²⁻				[TeBr ₆] ⁰				[TeBr ₆] ²⁻			
-ε, эВ	МО	Te	X	-ε, эВ	МО	Te	X	-ε, эВ	МО	Te	X	-ε, эВ	МО	Te	X
2,10	$3a_{1g}^2$	—	—	4,26	$3a_{1g}^2$	10	90	3,20	$3a_{1g}^2$	—	—	4,71	$3a_{1g}^2$	7	93
<u>5,00</u>	$1t_{1g}^6$	0	100	<u>5,00</u>	$1t_{1g}^6$	0	100	<u>5,00</u>	$1t_{1g}^6$	0	100	<u>5,00</u>	$1t_{1g}^6$	0	100
5,63	$1t_{2u}^6$	1	99	5,38	$1t_{2u}^6$	0	100	5,60	$1t_{2u}^6$	0	100	5,38	$1t_{2u}^6$	0	100
5,68	$3t_{1u}^6$	4	96	5,42	$3t_{1u}^6$	2	98	5,62	$3t_{1u}^6$	0	100	5,42	$3t_{1u}^6$	0	100
6,34	$2e_g^4$	9	91	5,93	$2e_g^4$	7	93	6,22	$2e_g^4$	11	89	5,87	$2e_g^4$	7	93
6,70	$1t_{2g}^6$	7	93	6,04	$1t_{2g}^6$	3	97	6,57	$1t_{2g}^6$	5	95	6,04	$1t_{2g}^6$	3	97
9,46	$2t_{1u}^6$	34	66	8,30	$2t_{1u}^6$	33	67	9,43	$2t_{1u}^6$	39	61	8,37	$2t_{1u}^6$	37	63
14,72	$2a_{1g}^2$	44	56	14,83	$2a_{1g}^2$	61	39	15,30	$2a_{1g}^2$	44	56	15,30	$2a_{1g}^2$	58	42
18,66	$1e_g^4$	3	97	18,13	$1e_g^4$	2	98	18,15	$1e_g^4$	3	97	17,67	$1e_g^4$	2	98
19,25	$1t_{1u}^6$	9	91	18,37	$1t_{1u}^6$	5	95	18,60	$1t_{1u}^6$	7	93	17,87	$1t_{1u}^6$	5	95
21,39	$1a_{1g}^2$	36	64	19,46	$1a_{1g}^2$	28	72	20,57	$1a_{1g}^2$	41	59	18,98	$1a_{1g}^2$	34	66
[SbCl ₆] ⁻				[SbCl ₆] ³⁻				[SbBr ₆] ⁻				[SbBr ₆] ³⁻			
-ε, эВ	МО	Sb	X	-ε, эВ	МО	Sb	X	-ε, эВ	МО	Sb	X	-ε, эВ	МО	Sb	X
3,37	$3a_{1g}^2$	—	—	4,19	$3a_{1g}^2$	16	84	2,63	$3a_{1g}^2$	—	—	4,60	$3a_{1g}^2$	11	89
<u>5,00</u>	$1t_{1g}^6$	0	100	<u>5,00</u>	$1t_{1g}^6$	0	100	<u>5,00</u>	$1t_{1g}^6$	0	100	<u>5,00</u>	$1t_{1g}^6$	0	100
5,49	$1t_{2u}^6$	0	100	5,22	$1t_{2u}^6$	0	100	5,50	$1t_{2u}^6$	0	100	5,25	$1t_{2u}^6$	0	100
5,52	$3t_{1u}^6$	3	97	5,23	$3t_{1u}^6$	1	99	5,51	$3t_{1u}^6$	2	98	5,25	$3t_{1u}^6$	0	100
6,09	$2e_g^4$	7	93	5,63	$2e_g^4$	3	97	6,07	$2e_g^4$	7	93	5,64	$2e_g^4$	3	97
6,39	$1t_{2g}^6$	3	97	5,60	$1t_{2g}^6$	1	99	6,37	$1t_{2g}^6$	3	97	5,68	$1t_{2g}^6$	1	99
8,49	$2t_{1u}^6$	26	74	7,08	$2t_{1u}^6$	27	73	8,49	$2t_{1u}^6$	29	71	7,15	$2t_{1u}^6$	28	72
12,93	$2a_{1g}^2$	49	51	12,48	$2a_{1g}^2$	79	21	13,46	$2a_{1g}^2$	56	44	13,01	$2a_{1g}^2$	80	20
18,36	$1e_g^4$	2	98	17,76	$1e_g^4$	1	99	17,94	$1e_g^4$	2	98	17,37	$1e_g^4$	0	100
18,80	$1t_{1u}^6$	4	96	17,87	$1t_{1u}^6$	2	98	18,27	$1t_{1u}^6$	3	97	17,47	$1t_{1u}^6$	1	99
20,03	$1a_{1g}^2$	19	81	18,23	$1a_{1g}^2$	9	91	19,34	$1a_{1g}^2$	18	82	17,81	$1a_{1g}^2$	9	91

Вклады $p\sigma$ -орбиталей усиливают Sb—X-связывание, а вклады ns -орбиталей, в отличие от $1a_{1g}$, являются разрыхляющими.

Преобладание в $s-p\sigma$ -гибридной орбитали галогенов s -АО привело к наличию в МО $2a_{1g}$ узловой поверхности между Sb и X₆ (см. рис. 3). Основную роль в ковалентном связывании Sb—X играют 6 электронов на $2t_{1u}$ МО, реализующей Sb5p—Х $p\sigma$ -взаимодействие, а 28 электронов на несвязывающих МО $1t_{2g}^6 2e_g^4 3t_{1u}^6 1t_{2u}^6 1t_{1g}^6$, локализованные от 97 до 100 % на атомах галогенов, существенны при рассмотрении степени ионности связей и в процессах переноса заряда X → Sb в возбужденных состояниях.

Заполненная в анионе [SbX₆]³⁻ ВЗМО $3a_{1g}$ по расчетным результатам представляет собой антисвязывающую комбинацию Х $p\sigma$ -орбиталей с 5s-АО металла ([SbCl₆]³⁻ 16 %, [SbBr₆]⁻ 11 %). При заполнении $3a_{1g}$ структура $2a_{1g}$ заметно меняется: вклад 5s-АО теллура увеличивается до

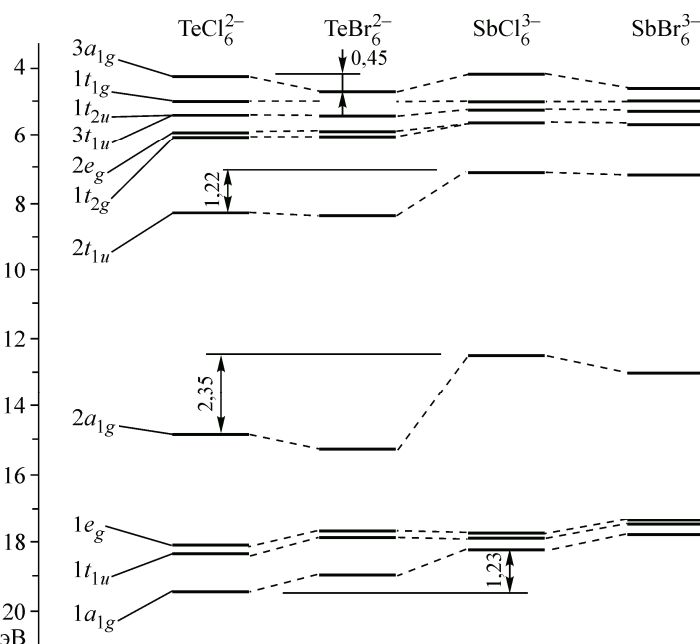


Рис. 4. Координационная диаграмма энергий MO для октаэдрических анионов с общей формулой AX_6^z

61 и 58 % для соединений с хлором и бромом соответственно, что представлено на координационной диаграмме (рис. 4).

В модельных соединениях I, III (см. рис. 2) трижды вырожденных t -МО анионов в силу понижения симметрии расщепляются на: $t_{1u} \rightarrow a_{2u} + e_u$; $t_{2g} \rightarrow e_g + a_{1g}$; $t_{2u} \rightarrow a_{1u} + e_u$; $t_{1g} \rightarrow a_{2g} + e_g$. В II, IV (см. рис. 2) на: $t_{1g} \rightarrow b_g + b_g + a_g$; $t_{2u} \rightarrow b_u + b_u + a_u$; $t_{1u} \rightarrow a_g + a_u + b_u$; $a_u + b_u + b_u$; $b_u + a_g + b_u$ и т.д., аналогично и для e MO. При этом сохраняется относительная последовательность электронных уровней, аналогичная октаэдрическим анионам AX_6^z .

В соответствии с расчетными результатами последовательность заполненных MO для свободного HGu^+ имеет вид: $1a_1'^2 1e'^4 2a_1'^2 2e'^4 3e'^4 1a_2'^2 1a_2''^2 1e'^4$.

Форма и симметрия данных MO представлена на рис. 5.

Поскольку получить спектр свободного катиона HGu не представляется возможным, то для проверки соответствия теоретических данных получен РФЭ-спектр валентной области хлорида гуанидиния (рис. 6).

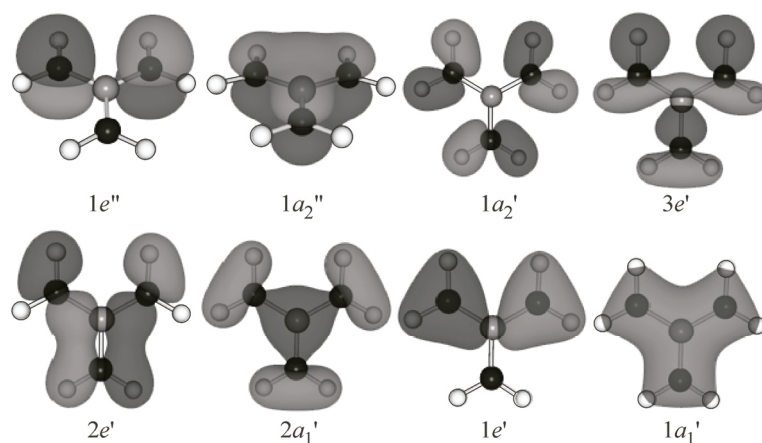


Рис. 5. Форма и симметрия MO свободного катиона $(\text{NH}_2)_3\text{C}^+$

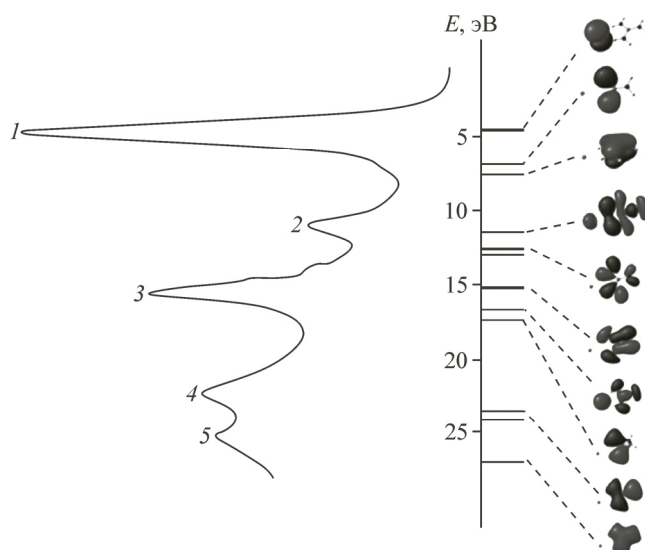


Рис. 6. РФЭ-спектр валентной полосы HGuCl

Первая интенсивная полоса в спектре валентных уровней (см. рис. 6) соответствует уровням $Cl3p$ и электронам $1e''(\pi)$. Вторая слабая полоса при 11 эВ обусловлена связывающими уровнями, коррелирующими с МО $3e'1a'_21a''_2$ свободного катиона, а третья интенсивная МО $2a'_12e'_2$, между которыми находится $3s$ -МО хлора. Высокое значение энергии ионизации последней полосы и обусловливает различие в интенсивности полос 2 и 3. Полоса 4 отнесена в соответствии с расчетными данными двум близким уровням $2s$ -типа N, а 5 — нижнему из валентных уровней N также $2s$ -типа.

Подробное описание электронного строения и РФЭ-спектры производных форм гуанидина и N'N-дифенилгуанидина представлены в нашей работе [20].

Рентгеновские фотоэлектронные спектры валентной области молекулярных кристаллов Cs_2TeCl_6 и $(HGu)_2TeCl_6$, полная и частичная (Te, Cl, HGu, Cs) плотность электронных уровней с учетом сечений фотоионизации представлены на рис. 7 и 8.

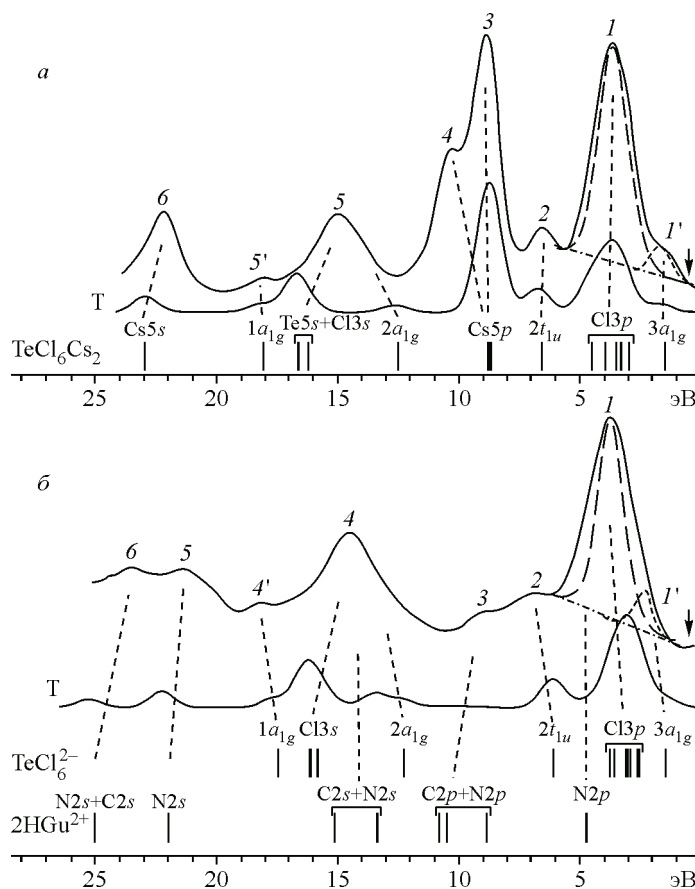
Рис. 7. РФЭ и теоретические (T) спектры валентной полосы Cs_2TeCl_6 (а) и $(HGu)_2TeCl_6$ (б)

Рис. 8. Спектр возбуждения Cs_2TeCl_6 (а) с нанесенным теоретическим расчетом (б)

Рассмотренные выше закономерности в электронной структуре модельных анионов и катионов находят проявление в расчетных спектрах и хорошо согласуются с распределением интенсивности в экспериментальном спектре валентных электронов (см. рис. 7). В спектрах TeCl_6Cs_2 интенсивная узкая полоса 1 с максимумами при 3,74 эВ (см. рис. 7) обусловлена группой несвязывающих Хп-уровней галогенов, коррелирующих с МО $1t_{2g}^6 2e_g^4 3t_{1u}^6 1t_{2u}^6 1t_{1g}^6$ октаэдра TeX_6^{2-} . Перегиб 1' первой полосы при 1,48 эВ (см. рис. 7) соответствует ВЗМО $\text{TeX}_6^{2-} 3a_{1g}^2$.

Полоса 2 соответствует связывающей $2t_{1u}^6$ МО ($\text{Te}5p + \text{X}p_{\sigma}$ галогенов). Полосы 3 и 4 обусловлены МО $\text{Cs}5p$, а их расщепление на две полосы объясняется спин-орбитальным взаимодействием, которое не учитывается методом ТФП в расчетах. МО аниона $2a_{1g}^2, 1t_{1u}^6, 1e_g^4$ в РФЭ спектрах соответствует полоса 5 с максимумом 14,6 эВ (см. рис. 7).

Изменения в интенсивности и положении полос валентных электронов при замещении Cl на Br обусловлены тем, что для брома понижается E_{cb} 4s- и 4p-электронов относительно E_{cb} 3s- и 3p-электронов хлора, а сечение ионизации $\text{Br}4p$ -АО относительно $\text{Cl}3p$ -АО увеличивается.

Детальное описание электронного строения и РФЭ-спектров молекулярных кристаллов с общей формулой E_nAX_6 представлено нами в работах [21—23].

МОДЕЛИРОВАНИЕ ВОЗБУЖДЕННЫХ СОСТОЯНИЙ

В табл. 2 приведены расчетные параметры для нижних триплетных и нижних синглетных состояний, возникающих при возбуждении электронов $3a_{1g}$ и $1t_{1g}$ модельного соединения TeCl_6Cs_2 , группа симметрии D_{3d} . Интенсивность триплетных состояний принималась 1/3 от интенсивности синглетных состояний, поскольку метод зависящей от времени теории функционала плотности не позволяет рассчитать интенсивность запрещенных переходов.

Для упрощения интерпретации спектра возбуждения люминесценции TeCl_6Cs_2 была выполнена привязка расчетных энергий состояний к реальным полосам спектра возбуждения, а также нанесены расчетные полосы и теоретический спектр (см. рис. 8).

На спектре возбуждения Cs_2TeCl_6 (см. рис. 8) отчетливо различаются три группы полос: с пиками при 459,8 нм (первая); 378,3 и 361,7 нм (вторая); 279,2 и 254,5 нм (третья).

Первая группа полос соответствует наиболее интенсивным переходам $3a_{1g} \rightarrow e_u^*$, $3a_{1g} \rightarrow a_{2u}^*$ (в симметрии O_h $3a_{1g} \rightarrow 4t_{1u}$) и состояниям E_u, A_{2u} (в $O_h T_{1u}$). Вторая группа полос соответствует переходам $e_g \rightarrow e_u^*$ и $e_g \rightarrow a_{2u}^*$, в группе симметрии O_h этим переходам соответствуют переходы $t \rightarrow t^*$.

При 342,56 и 338,03 нм наблюдаются переходы с $3a_{1g}$ на вакантные МО цезия. Третьей группе полос соответствуют переходы с более глубоких t -МО.

Учет влияния спин-орбитального взаимодействия на систематику состояний аниона TeX_6 возможен в двойных точечных группах прямым произведением неприводимых представлений (НП) пространственной и спиновой волновых функций. В октаэдрической группе O_h симметрия спиновой функции триплетных состояний T_{1g} приводит для состояний ${}^3T_{1u}$ к произведению:

$$T_{1u} \cdot T_{1g} = A_{1u} + E_u + T_{1u} + T_{2u}.$$

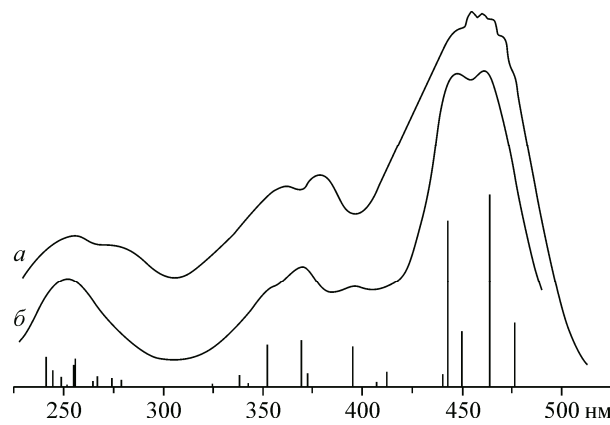


Таблица 2

Расчетные данные для возбужденных состояний Cs_2TeCl_6

Симметрия	Вклад, %	E , эВ	λ , нм	f	Симметрия	Вклад, %	E , эВ	λ , нм	f
3E_u	$3a_{1g} \rightarrow e_u^*$ 97	2,60	476,4	0,0395	1E_u	$e_g \rightarrow e_u^*$ 56	4,56	271,6	0,0061
1E_u	$a_{1g} \rightarrow e_u^*$ 89	2,76	449,7	0,1184	3E_u	$a_{1g} \rightarrow e_u^*$ 28	4,51	274,7	0,0058
$^3A_{2u}$	$3a_{1g} \rightarrow a_{2u}^*$ 96	2,67	463,8	0,0342	1E_u	$a_{1g} \rightarrow e_u^*$ 13	4,65	266,6	0,0174
$^1A_{2u}$	$a_{1g} \rightarrow a_{2u}^*$ 89	2,80	442,7	0,1026	$^3A_{2u}$	$e_g \rightarrow e_u^*$ 86	4,45	278,7	0,0045
3E_u	$a_{2g} \rightarrow e_u^*$ 81	2,82	440,1	0,0083	$^1A_{2u}$	$e_g \rightarrow e_u^*$ 83	4,65	266,6	0,0136
1E_u	$a_{2g} \rightarrow e_u^*$ 87	3,14	394,9	0,0248	3E_u	$e_g \rightarrow a_{2u}^*$ 30	4,54	273,1	0,0005
3E_u	$e_g \rightarrow e_u^*$ 58	3,05	406,9	0,0029	1E_u	$a_{1g} \rightarrow e_u^*$ 66	4,85	255,5	0,0015
1E_u	$e_g \rightarrow e_u^*$ 90	3,36	369,2	0,0087		$e_g \rightarrow a_{2u}^*$ 24			
$^3A_{2u}$	$e_g \rightarrow e_u^*$ 96	3,01	412,5	0,0095	3E_u	$e_g \rightarrow a_{2u}^*$ 51	4,58	270,6	0,0035
$^1A_{2u}$	$e_g \rightarrow e_u^*$ 92	3,36	369,2	0,0286	1E_u	$e_g \rightarrow a_{2u}^*$ 69	4,99	248,5	0,0105
3E_u	$e_u \rightarrow e_u^*$ 77	3,33	372,2	0,0086	$^3A_{2u}$	$a_{1g} \rightarrow a_{2u}^*$ 67	4,87	254,5	0,0061
1E_u	$e_g \rightarrow a_{2u}^*$ 93	3,52	352,1	0,0257	$^1A_{2u}$	$a_{1g} \rightarrow a_{2u}^*$ 82	5,08	244,0	0,0184
$^3A_{2u}$ (TeX6—Cs)	$3a_{1g} \rightarrow a_{2u}^*$ 84	3,62	342,6	0,0025	3E_u	$e_g \rightarrow a_{2u}^*$ 45	4,95	250,5	0,0001
$^1A_{2u}$ (TeX6—Cs)	$a_{1g} \rightarrow a_{2u}^*$ 98	3,67	338,0	0,0076	1E_u	$e_g \rightarrow a_{2u}^*$ 85	5,14	241,5	0,0002
3E_u	$e_g \rightarrow e_u^*$ 58	3,82	324,5	0,0020					
	$e_g \rightarrow a_{2u}^*$ 36								

Следовательно, при классификации состояний в двойных точечных группах для запрещенного по спину возбуждения $^1A_{1g} \rightarrow ^3T_{1u}$ оператор перехода T_{1u} "разрешает" радиационный переход на одно из четырех состояний — T_{1u} .

Для триплетных состояний $^3A_{1u}$, 3E_u и $^3T_{2u}$ в двойных точечных группах также приходим к оптически активным состояниям T_{1u} :

$$A_{1u} \cdot T_{1g} = T_{1u}; \quad E_u \cdot T_{1g} = T_{1u} + T_{2u}; \quad T_{2u} \cdot T_{1g} = A_{2u} + E_u + T_{1u} + T_{2u}.$$

Расщепление энергии нижнего возбужденного состояния T_{1u} вследствие электронно-колебательного взаимодействия следует из антисвязывающего характера ВЗМО $3a_{1g}$ и НСМО $4t_{1u}$.

В возбужденной конфигурации $3a_{1g}^1 4t_{1u}^1$ удаление одного электрона с $3a_{1g}$ ведет к уменьшению межатомных расстояний всех связей Te—X, а электрон на одной из трех $4t_{1u}$ МО увеличивает длину только двух аксиальных связей Te—X, т.е. приводит к симметрии D_{4h} .

ЗАКЛЮЧЕНИЕ

Согласно полученным экспериментальным данным и выполненным расчетам нижнее возбужденное триплетное состояние ($^3T_{1u}$) анионов с общей формулой AX_6^z соответствует конфигурации $3a_{1g}^1 4t_{1u}^1$. Для определения симметрии состояний в рамках спин-орбитального взаимодействия было проведено перемножение двойных точечных групп симметрии для неприводимых представлений волновых функций (т.е. пространственной T_{1u} и спиновой триплетной T_{1g}).

Результатом явилось состояние $A_{1u} + E_u + T_{1u} + T_{2u}$. При электрическом дипольном возбуждении оператор перехода (T_{1u}) "разрешает" переход только с одного из четырех состояний (T_{1u}). Учет эффекта Яна—Теллера приводит к расщеплению состояния T_{1u} на два состояния $A_{2u} + E_u$ в обозначениях точечной группы симметрии D_{4h} .

Сопоставление экспериментальных и расчетных данных для Cs_2TeCl_6 позволило сделать следующее заключение о природе люминесценции: наиболее интенсивные полосы в спектрах возбуждения люминесценции формируются за счет переходов $3a_{1g} \rightarrow e_u^*$ и $3a_{1g} \rightarrow a_{2u}^*$ ($3a_{1g} \rightarrow 4t_{1u}$ в точечной группе симметрии O_h), что соответствует состояниям E_u и A_{2u} (T_{1u} в точечной группе симметрии O_h); последующие полосы формируются за счет переходов $e_g \rightarrow e_u^*$, $e_g \rightarrow a_{2u}^*$ (в точечной группе симметрии O_h им соответствует переход $t \rightarrow t^*$).

Работа выполнена при финансовой поддержке Министерства образования и науки РФ (государственное задание, проект 3.2168.2017/ПЧ).

СПИСОК ЛИТЕРАТУРЫ

1. Wang Z.-P., Wang J.-Y., Li J.-R., Feng M.-L., Zoua G.-D., Huang X.-Y. // Chem. Commun. – 2015. – **51**. – P. 3094 – 3097.
2. Lahbib I., Rzaigui M., Smirani W. // J. Mol. Struct. – 2016. – **1120**. – P. 250 – 258.
3. Chen L., Luo A.-Q., Zhang Y., Chen X.-H., Liu H., Jiang Y., Chen S.-F., Chen K.-J., Kuo H.-C., Tao Y., Zhang G.-B. // J. Solid State Chem. – 2013. – **201**. – P. 229 – 236.
4. Sedakova T.V., Mirochnik A.G. // Optics Spectr. – 2016. – **120**, N 2. – P. 268 – 273.
5. Sedakova T.V., Mirochnik A.G. // Optics Spectr. – 2015. – **119**, N 1. – P. 54 – 58.
6. Shiyue Yao, Xuan Zhou, Yanling Huang // J. Alloys Compounds. – 2015. – **653**. – P. 345 – 350.
7. Li Yang, Li Yiyang, Chen Ruchun, Sharafudeen Kaniyarakkal, Zhou Shifeng, Gecevicius Mindaugas, Wang Haihui, Dong Guoping, Wu Yiling, Qin Xixi, Qiu Jianrong // NPG Asia Materials. – 2015. – **7**. – P. 180.
8. Peresh E.Yu., Sidei V.I., Zubaka O.V. // Inorg. Mater. – 2005. – **41**, N 3. – P. 298 – 302.
9. Tilley R.J.D. Perovskites: Structure-Property Relationships. – UK, London : Wiley, 2016.
10. Tarasiewicz J., Jakubas R., Zaleski J., Baran J. // J. Mol. Struct. – 2008. – **876**, N 1-3. – P. 86 – 101.
11. Piecha A., Gagor A., Pietraszko A., Jakubas R. // J. Solid State Chem. – 2010. – **183**, N 12. – P. 3058 – 3066.
12. Weslati N., Chaabane I., Bulou A., Hlel F. // Physica B: Condensed Matter. – 2014. – **441**. – P. 42 – 46.
13. Pietraszko A., Bednarska-Bolek B., Jakubas R., Zielinski P. // J. Phys.: Condensed Matter. – 2001. – **13**, N 30. – P. 6471 – 6488.
14. Kulicka B., Jakubas R., Pietraszko A., Medycki W., Swiergiel J. // J. Mol. Struct. – 2006. – **783**, N 1-3. – P. 88 – 95.
15. Нефедов В.И., Вовна В.И. Электронная структура химических соединений. – М.: Наука, 1987.
16. Вовна В.И. Электронная структура комплексов переходных металлов со фтор- и кислородсодержащими лигандами по фотоэлектронным данным: Дис. ... д-ра хим. наук. – Владивосток, 1989.
17. Vogler A., Paukner A., Kunkely H. // Coord. Chem. Rev. – 1990. – **97**. – P. 285 – 297.
18. Oomen E.W.J.L., Peeters R.C.M., Smit W.M.A., Blasse G. // J. Solid State Chem. – 1988. – **73**, N 1. – P. 151 – 159.
19. Мирочник А.Г. Фото-, механо- и термостимулированные процессы в комплексных соединениях лантаноидов и р-элементов: Дис. ... д-ра хим. наук. – Ин-т химии ДВО РАН, Владивосток, 2007.
20. Korochentsev V.V., Os'mushko I.S., Lvov I.B., Komissarov A.A., Dotsenko A.A., Sedakova T.V., Mirochnik A.G., Vovna V.I. // Russ. J. Gen. Chem. – 2014. – **84**, N 1. – P. 25 – 32.
21. Vovna V.I., Dotsenko A.A., Korochentsev V.V., Shcheka O.L., Os'mushko I.S., Mirochnik A.G., Sedakova T.V., Sergienko V.I. // J. Mol. Struct. – 2015. – **1091**. – P. 138 – 146.
22. Dotsenko A.A., Vovna V.I., Korochentsev V.V., Os'mushko I.S., Mirochnik A.G., Sedakova T.V. // Russ. Chem. Bull., Intern. Ed. – 2015. – **64**, N 10. – P. 2393 – 2399.
23. Dotsenko A.A., Shcheka O.L., Vovna V.I., Korochentsev V.V., Mirochnik A.G., Sedakova T.V. // J. Mol. Struct. – 2016. – **1109**. – P. 13 – 21.
24. Мирочник А.Г., Седакова Т.В., Николенко Ю.М., Карапев В.Е. // Журн. структур. химии. – 2006. – **47**, № 2. – С. 254 – 258.
25. Мирочник А.Г., Жихарева П.А., Седакова Т.В., Карапев В.Е. // Журн. физ. химии. – 2007. – **81**, № 2. – С. 360 – 363.
26. Седакова Т.В., Мирочник А.Г., Карапев В.Е. // Оптика и спектроскопия. – 2008. – **105**, № 4. – С. 572 – 577.
27. Сторожук Т.В., Буквецкий Б.В., Мирочник А.Г., Карапев В.Е. // Журн. структур. химии. – 2003. – **44**, № 5. – С. 968 – 972.

28. Мирочник А.Г., Буквецкий Б.В., Сторожук Т.В., Карасев В.Е. // Электр. журн. "Исследовано в России". – 2002. – 5. – С. 1811 – 1822.
29. Мирочник А.Г., Удовенко А.А., Сторожук Т.В., Карасев В.Е., Буквецкий Б.В. // Журн. неорган. химии. – 2003. – 48, № 7. – С. 1067 – 1078.
30. Engel G. // Zeitschrift fuer Kristallographie. – 1935. – 90. – P. 341 – 373.
31. Das A.K., Brown I.D. // Can. J. Chem. – 1966. – 44, N 8. – P. 939 – 943.
32. Waskowska A., Janczak J., Czapla Z. // J. Alloys Compounds. – 1993. – 196. – P. 255 – 257.
33. Groom C.R., Bruno I.J., Lightfoot M.P., Ward S.C. // Acta Crystallog. Section. – 2016. – B72. – P. 171 – 179.
34. Casa XPS [Электронный ресурс] // URL: <http://www.casaxps.com/>
35. Levine I.N. Quantum Chemistry (7th Ed.). – New Jersey : Pearson, 2013.
36. Orfanidis S.J. Introduction to Signal Processing. – Englewood Cliffs. New Jersey: Prentice Hall, 1996.
37. Vovna V.I., Korochentsev V.V., Dotsenko A.A. // Russ. J. Coord. Chem. – 2012. – 38, N 1. – P. 36 – 43.
38. Osmushko I.S., Vovna V.I., Tikhonov S.A., Chizhov Y.V., Krauklis I.V. // Intern. J. Quantum Chem. – 2016. – 116, Iss. 4. – P. 325 – 332.
39. Gordon M.S., Schmidt M.W. at el. "Advances in electronic structure theory: GAMESS a decade later" pp. 1167 – 1189, in "Theory and Applications of Computational Chemistry: the first forty years" C.E. Dykstra, G. Frenking, K.S. Kim, G.E. Scuseria (ed.), Elsevier.
40. Granovsky A.A. Firefly version 7.1.G [Электронный ресурс] // URL: <http://classic.chem.msu.su/gran/firefly/index.html>.
41. Becke A.D. // J. Chem. Phys. – 1993. – 98. – P. 5648 – 5652.
42. Basis Set Exchange: v1.2.2 [Электронный ресурс] // URL: <https://bse.pnl.gov/bse/portal>
43. Burke K., Werschnik J., Gross E.K.U. // J. Chem. Phys. – 2005. – 123, N 6. – P. 062206.